Практический курс моделирования магнитоуправляемых датчиков положения и скорости на базе конечно-элементного программного пакета FLUX Часть 2. Магнитостатическое моделирование компонентов рабочей зоны датчика

(продолжение)

Светлана Сысоева (Москва)

Во второй части статьи демонстрируются моделирующие возможности пакета FLUX 10.1.2 в реализации этапов магнитостатического расчёта датчика скорости ферромагнитного зубчатого ротора.

Физическое описание модели

Для физического описания датчика ферромагнитного зубчатого ротора используются два основных материала, ответственные за работоспособность устройства:

- SmCo гомогенный редкоземельный материал постоянного магнита с анизотропными свойствами;
- STEEL магнитомягкая сталь ротора с нелинейной характеристикой *В(H)*.

Физическое магнитостатическое моделирование начинается с пересохранения созданного ранее проекта под именем PHYS MAG SYS REF 3D.FLU и определения физического применения как 3D Magneto Static посредством вызова из меню Application команды Define (см. рис. 14a). МКЭ-функции для скалярных и векторных потенциалов поля в пакете Flux для этого применения выбираются автоматически. После активации физического применения становится доступным физический контекст описания модели. По команде меню Physics, Material, New (кнопка Create a new material) (см. рис. 146, 14в) создаются материалы SMCO и STEEL.

Пусть магнит намагничен вдоль Х-оси в координатной системе СО-ORDSYS MAG SENSOR и характеризуется остаточной магнитной индукцией B_r = 0,9 Тл. Коэффициенты относительной магнитной проницаемости μ_r для оси X составляют 1,15, для осей Y и Z - по 1 (см. рис. 14б). Положим, что материал STEEL имеет следующие характеристики (см. рис. 14в): начальный коэффициент относительной проницаемости - 3500; поле насыщения - 1,75 Тл; регулировочный коэффициент кривой Knee adjustment - 0,075. В дальнейшем эти значения могут быть ведены в качестве параметров, с тем чтобы их изменять и контролировать перед запуском сце-

Объёмы MAGNET и ROTOR, а также AIR, необходимые для создания физического описания, создаются командой New volume region (см. рис. 14г), вызываемой из меню Physics, Volume region, New, кнопкой Create a New Region или из дерева данных, строка Volume region. Затем физические объёмы назначаются геометрическим объёмам (Physics, Assign regions to geometric entities, Assign regions to volumes

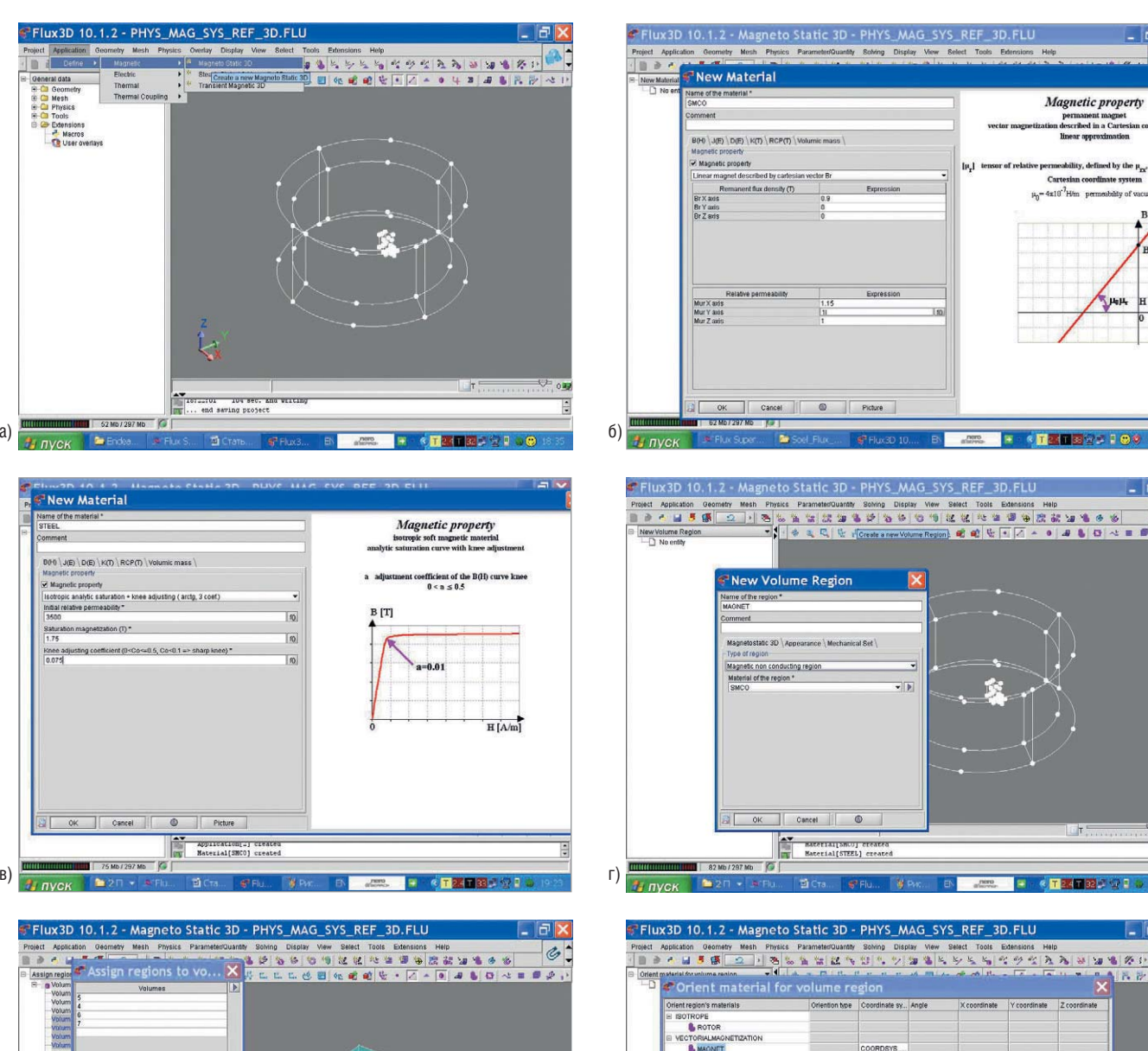
(completion mode, modification mode)) (см. рис. 14д).

Для лучшей визуализации процесса назначения объёмов магнита и ротора целесообразно отключить видимость объёмов (а также поверхностей, линий и точек) бесконечного бокса, выделив в дереве данных объёмы с 8-го по 14-й и активировав для них контекстную команду Set Invisible. Объёмный регион AIR назначается этим объёмам бесконечного бокса, которые выбираются в дереве данных с применением клавиш Ctrl и Shift. Геометрические объёмы для назначения их объёмам MAGNET и ROTOR могут выбираться и непосредственно в графической зоне.

В координатной системе объёмного региона COORDSYS_MAG_SENSOR также выполняется ориентация магнита командой Orient material for volume region, вызываемой посредством кнопки панели инструментов или из меню Physics, Material (см. рис. 14е). На этом работа с препроцессором, т.е. геометрическое, конечно-элементное и физическое описание модели, завершается. Можно сохранить текущий проект.

Решение образцовой молели

Решение образцовой модели, на создание которой было затрачено некоторое время, выполняется в программе *Flux3D* очень быстро. Для



Se Assign region Scholars to Vol...

Se Assign region to the total scholars to Vol...

Se a Volume to Volume to scigler to Volume to Vol

Flux 3D 10.1.2 - Magneto Static 3D - PHYS_MAG_SYS_REF_3D.FLU

Project Application Generally Main Physics Parameteriolization Solving Display New Seed Tools Edentions Help

Original Conference of the Conference

Рис. 14. Этапы физического описания сборки магнитной системы датчика

(а) Определение физического применения как магнитостатического; (б) создание нового материала магнита; (в) создание нового ферромагнитного материала; (г) окно для создания новых объёмных регионов; (д) окно для назначения объёмных регионов геометрическим объёмам; (е) ориентация магнита в координатной системе

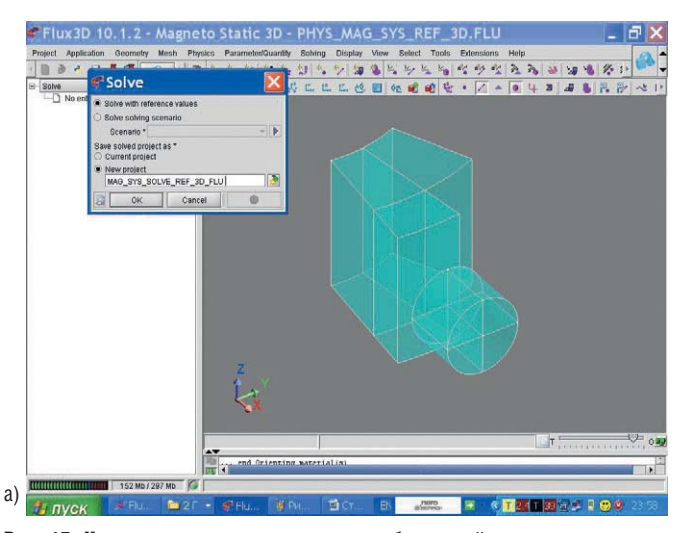
запуска сценария образцового решения предназначена команда Solve, вызываемая из пункта меню Solving. В диалоговом окне запуска команды пользователю предлагается возможность сохранения результатов решения в новом проекте, например, MAG_SYS_SOLVE_REF_3D.FLU (см. рис. 15а). Пересохранение выполня-

ется автоматически; о результатах выполнения команды пользователю сообщается в зоне истории и в левом нижнем углу экрана (на рисунке 156 показан также вид со стрелками, изображающими векторную модель поля магнита, доступными после решения с командой меню *Physics*, *Display arrows on magnet*).

Постобработка РЕЗУЛЬТАТОВ ВЫЧИСЛЕНИЙ

В пакете Flux существует мощная поддержка для вычислений и отображения результатов. Все команды становятся доступны посредством их вызова из пункта главного меню Postprocessing или активации соответствующей кнопки панелей инстру-

© CTA-ПРЕСС



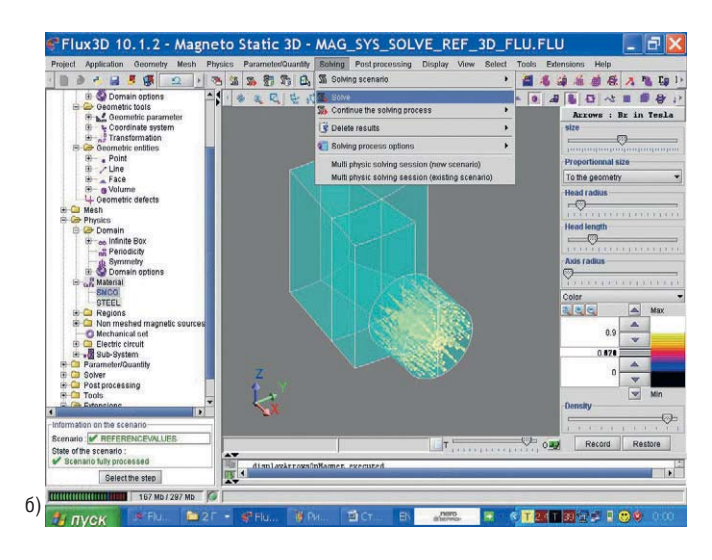


Рис. 15. Иллюстрация процесса решения образцовой модели

(a) Окно запуска решения образцового сценария; (б) вид окна программы Flux3D с результатами решения образцового сценария и визуализированной стрелками векторной моделью поля магнита

ментов. Контекст постобработки активируется программой Flux автоматически.

Команда *Isovalues on volume regions* позволяет выбрать объёмы для визуализации, задать скалярную формулу Mod(B) (см. рис. 16а) и получить изображение скалярных результатов решения (см. рис. 16б).

Команда Arrows in volume regions в диалоговом окне ввода (см. рис. 16в) позволяет также выбрать объёмы для визуализации, задать векторную формулу В и получить изображение векторных результатов решения (см. рис. 1г). Для скрытия или отображения стрелок или изокривых существуют соответствующие команды меню Postprocessing, Isovalues, Display or bide isovalues и Arrows, Display or bide arrows.

В пакете Flux также может быть создана 2D-сетка, параллельная плоскости XY, как средство поддержки вычислений (команда меню *Postprocessing*, 2D grid, New) (см. рис. 16д).

Скалярные величины магнитной плотности потока вычисляются на 2D-сетке и отображаются как изозначения в цветовых оттенках с той же формулой Mod(B). Плотность магнитного потока также может быть вычислена в выбранной точке (см. рис. 16e). Например, можно рассчитать плотность магнитного потока в точке с зазором 0,5 мм от поверхности магнита или любой другой точке.

Вычисление и отображение плотности магнитного потока производится также и на плоскостях срезов. Скалярные величины плотности магнитного потока вычисляются на плоскостях среза и отображаются также через графики изозначений пветовых оттенков.

Возможно также вычисление изозначений относительной магнитной проницаемости в объёмных регионах. Скалярные параметры вычисляются в выбранных объёмных регионах и отображаются в цветовых оттенках изозначений. Для этого будет использоваться та же команда Isovalues on volume regions, но с формулой Mur.

Задачи физической параметризации

Для физического параметризованного вычисления рекомендуется создать новый проект на базе образцового проекта. На этапе физической параметризации:

- создаются входные и выходные параметры;
- модифицируются физические свойства;
- создаётся датчик;
- определяется сценарий решения;
- решается проект.

В рамках данного проекта необходимо исследование магнитной индукции как основного входного параметра (остаточная намагниченность магнита), после чего редактируются свойства материалов магнита и стали. Чтобы вычислять магнитный поток, в пакете Flux также может быть создан виртуальный датчик.

Сценарий решения перед его запуском определяется как физичес-

кий, параметризованный. Определяются входные параметры I/O parameter и для каждого из них задаются диапазон и шаг. Далее вычисляются и отображаются изозначения скалярных величин магнитной плотности в выбранных объёмных регионах с формулой Mod(B), векторные величины плотности магнитного потока в выбранных объёмных регионах, которые отображаются в виде стрелок. Создаётся 2D-сетка для вычислений и отображений результатов, локализованная в области воздушного зазора, вычисляются и отображаются значения плотности магнитного потока на 2D-сетке с формулой Mod(B) (см. рис. 17a). Программа позволяет построить 2D-кривую расчётной плотности магнитного потока в зависимости от входного параметра I/O parameter, который для сценария решения устанавливает пользователь (см. рис. 17б).

Задачи геометрической параметризации

В геометрической параметризации изменяется один из каких-либо параметров геометрии, для которого указывается диапазон и шаг изменения. Вновь выполняется модификация физических свойств, создаётся датчик, определяется сценарий решения и запускается сценарий решения и новый проект.

Затем снова вычисляются и отображаются изозначения магнитной плотности потока в объёмных регионах (см. рис. 18а), вычисляются и

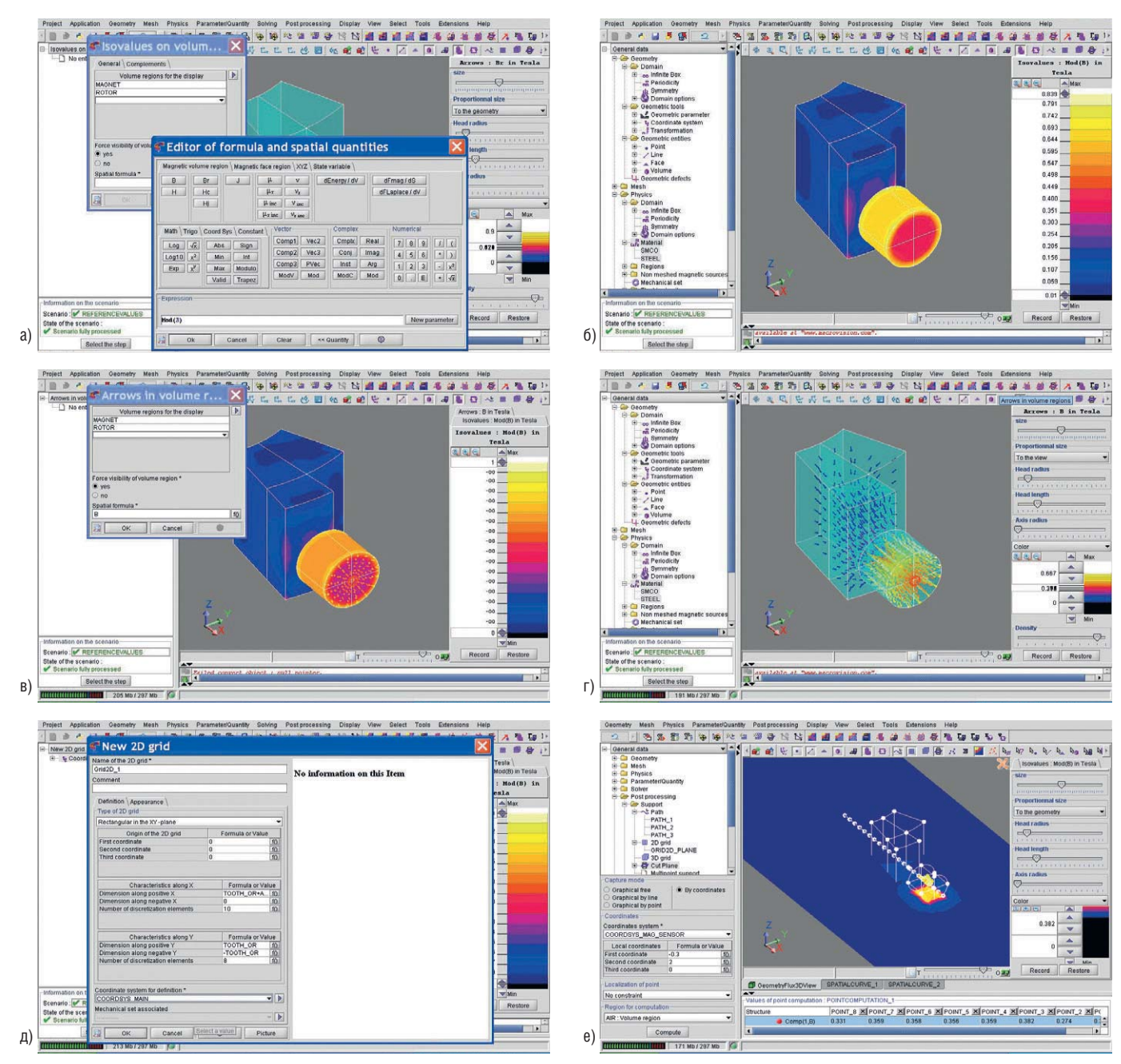


Рис. 16. Демонстрация средств постобработки результатов вычислений в пакете Flux на примере образцовой модели

(а) Окно выполнения команды *Isovalues on volume regions* вместе с окном редактора формул; (б) изображение скалярных результатов решения; (в) изображение векторных результатов решения с отключенными скалярными результатов решения с отключенными скалярными результатами; (д) окно для создания прямоугольной 2D-сетки; (е) вычисления плотности магнитного потока в выбранной точке

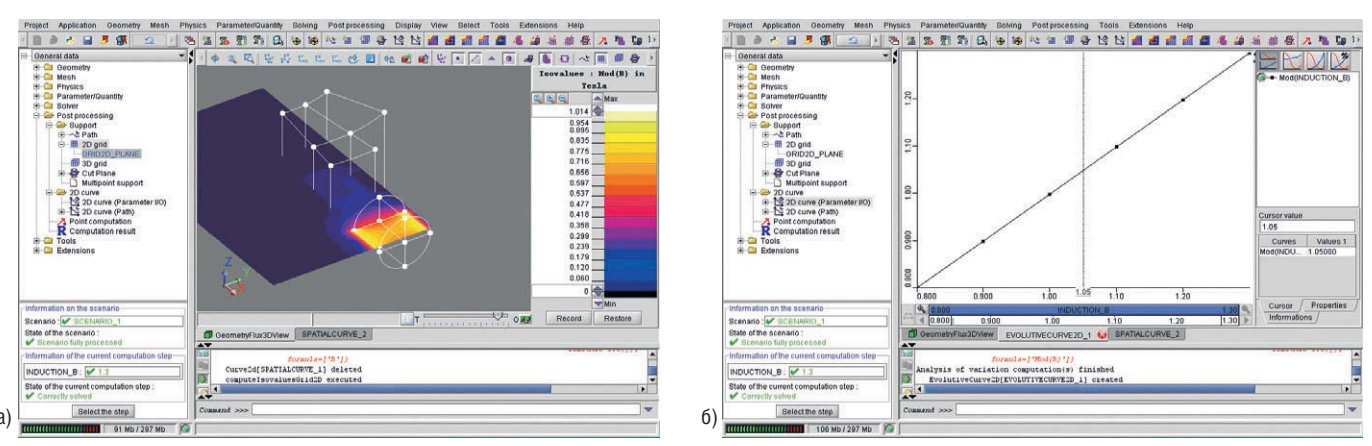


Рис. 17. Демонстрация средств постобработки результатов вычислений в пакете Flux на примере физического параметризованного вычисления

- (а) Изображение скалярных результатов решения на 2D-сетке;
- (б) 2D-кривая плотности магнитного потока в зависимости от входного параметра

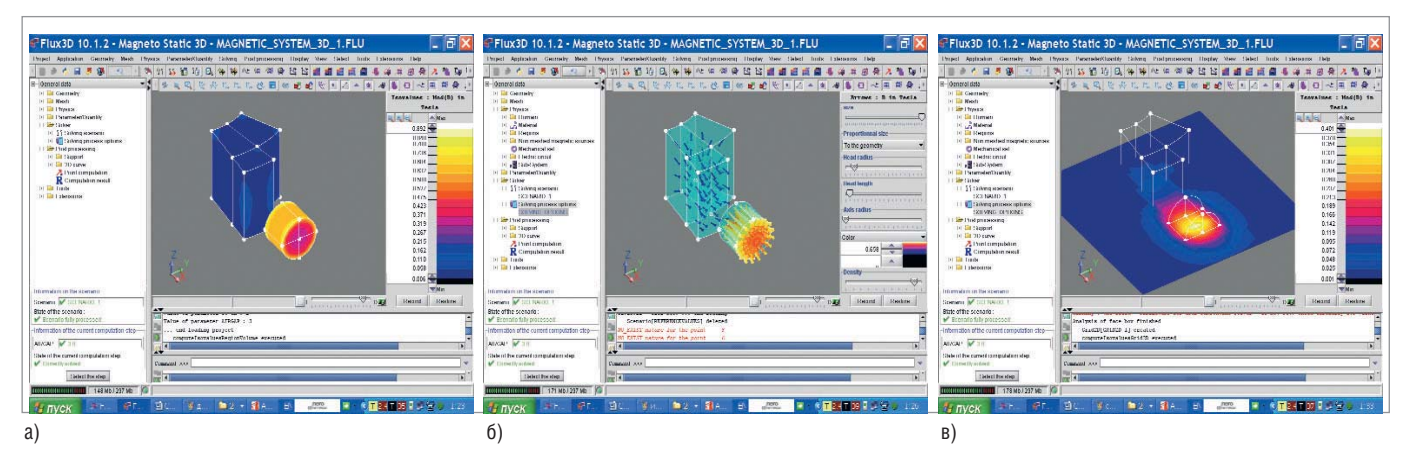


Рис. 18. Демонстрация средств постобработки результатов вычислений в пакете Flux на примере геометрического параметризованного вычисления(а) Изображение скалярных результатов решения; (б) изображение векторных результатов решения; (в) изображение скалярных результатов решения на 2D-сетке

отображаются стрелками векторы плотности магнитной индукции в объёмных регионах (см. рис. 186), создаётся 2D-сетка, вычисляются и отображаются изозначения магнитной плотности потока на 2D-сетке (см. рис. 18в), выполняется построение 2D-кривой датчика в зависимости от параметра *I/O parameter*.

ЗАКЛЮЧЕНИЕ

Для знакомства с сегодняшним уровнем конечно-элементных пакетов CAD/CAE, новейшим представителем которого является Flux v.10.1.2 Сеdrat (www.cedrat.com), рассмотрение концепций и основных этапов магнитостатического моделирования датчика ферромагнитного зубчатого ротора, выбранного в качестве

примера, является вполне достаточным. Созданные рисунки и исследованная образцовая модель далее могут быть использованы для статической и динамической оптимизации устройства, но в качестве практической задачи это является темой следующих публикаций.

Продолжение следует